

徳島大学工学部 正会員 児嶋弘行
 徳島大学工学部 正会員 平尾 潔
 神戸市役所 正会員 O青木克彦

要旨 本研究は、曲げと曲げ捻りとに与える軸方向力の影響を導入した変形法の非線形な基本式を用いて立体剛節骨組を対象とした自動弾性不安定解析を試みたものである。解析法としては、Network解析法にみられるTree Methodを用い、TreeとLinkとに分割された骨組に対して得られるStiffness Matrix, $Z = Y + W \cdot X \cdot W$ について、 Z^{-1} の計算にはA.S.Householderの計算式を、 $|Z|$ の計算には新たに誘導した計算式 $|Z| = |Y| \cdot |X^{-1} + W \cdot Y^{-1} \cdot W| \cdot |X|$ を用いて計算の効率化をはかった。

1. Stiffness および Flexibility Matrix 骨組中の任意の一部枝の個有座標系 η_{i5} における枝端力 S_i と枝端変形量 Δ_i とを図-1のように定めた場合、これらの間の関係は式-(1)のように表わされ、また、始端Iと終端Fとにおける枝端力の間の関係、および、式-(1)における ${}_{II}K_i$ と ${}_{IF}K_i$ との間の関係は、式-(2)のように表わすことができる。

$$\left. \begin{aligned} {}_I S_i &= {}_{II}K_i \cdot {}_I \Delta_i + {}_{IF}K_i \cdot {}_F \Delta_i \\ {}_F S_i &= {}_{FI}K_i \cdot {}_I \Delta_i + {}_{FF}K_i \cdot {}_F \Delta_i \end{aligned} \right\} \text{--- (1)}$$

$$\begin{aligned} {}_F S_i &= {}_S T_i \cdot {}_I S_i, \quad {}_{FF}K_i = {}_{II}K_i \cdot {}_K T_i^T \text{--- (2)} \end{aligned}$$

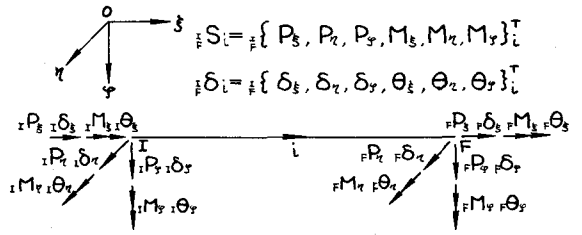


図-1

いま、 $S_i = {}_I S_i$, $K_i = {}_{II}K_i$ と書き直し、さらに、 $\Delta_i = {}_I \Delta_i + {}_K T_i^T \cdot {}_F \Delta_i$ と表わすことにす

れば、式-(1)の2個の式は、式-(2)の関係を用いて整理すれば式-(3)のような1個の式で表わされ、式-(4)のような内容をもつ K_i が Stiffness Matrix となる。

$$S_i = K_i \cdot \Delta_i \text{--- (3)}$$

式-(3)を Δ_i について解けば、Flexibility Matrix が式-(5)のように求まる。ただし、以上において、

$$K_i = \begin{bmatrix} a & 0 & 0 & 0 & 0 & 0 \\ 0 & b_{\eta} & 0 & 0 & 0 & c_{\eta} \\ 0 & 0 & b'_{\eta} & 0 & -c'_{\eta} & 0 \\ 0 & 0 & 0 & d & 0 & 0 \\ 0 & 0 & -c_{\eta} & 0 & e_{\eta} & 0 \\ 0 & c_{\eta} & 0 & 0 & 0 & e'_{\eta} \end{bmatrix}_i \text{--- (4)}$$

$${}_S T_i = \begin{bmatrix} -1 & 0 & 0 & 0 & 0 & 0 \\ 0 & -1 & 0 & 0 & 0 & 0 \\ 0 & 0 & -1 & 0 & 0 & 0 \\ 0 & 0 & 0 & -1 & 0 & 0 \\ -\Delta \delta_{\eta} & 0 & -\Delta & 0 & -1 & 0 \\ \Delta \delta_{\eta} & \Delta & 0 & 0 & 0 & -1 \end{bmatrix}_i, \quad {}_K T_i = \begin{bmatrix} -1 & 0 & 0 & 0 & 0 & 0 \\ 0 & -1 & 0 & 0 & 0 & 0 \\ 0 & 0 & -1 & 0 & 0 & 0 \\ 0 & 0 & 0 & -1 & 0 & 0 \\ 0 & 0 & 0 & 0 & -1 & 0 \\ 0 & 0 & -(\frac{\Delta}{l})_{\eta} & 0 & (\frac{\Delta}{l})_{\eta} & 0 \\ 0 & (\frac{\Delta}{l})_{\eta} & 0 & 0 & 0 & (\frac{\Delta}{l})_{\eta} \end{bmatrix}_i$$

$$F_i = \begin{bmatrix} a' & 0 & 0 & 0 & 0 & 0 \\ 0 & b'_{\eta} & 0 & 0 & 0 & -c'_{\eta} \\ 0 & 0 & b_{\eta} & 0 & c_{\eta} & 0 \\ 0 & 0 & 0 & d' & 0 & 0 \\ 0 & 0 & c'_{\eta} & 0 & e'_{\eta} & 0 \\ 0 & -c'_{\eta} & 0 & 0 & 0 & e_{\eta} \end{bmatrix}_i \text{--- (5)}$$

$$\begin{aligned} \varphi_{1,\eta} &= \left\{ \frac{\lambda l \sin \lambda l}{2(1 - \cos \lambda l)} \right\}_{\eta,5} (P_{\xi} > 0) = - \left\{ \frac{\lambda l \sinh \lambda l}{2(1 - \cosh \lambda l)} \right\}_{\eta,5} (P_{\xi} < 0) \\ \varphi_{2,\eta} &= \left\{ \frac{\lambda^2 l^2}{6} \frac{1 - \cos \lambda l}{2(1 - \cos \lambda l) - \lambda l \sin \lambda l} \right\}_{\eta,5} (P_{\xi} > 0), \\ &= - \left\{ \frac{\lambda^2 l^2}{6} \frac{1 - \cosh \lambda l}{2(1 - \cosh \lambda l) + \lambda l \sinh \lambda l} \right\}_{\eta,5} (P_{\xi} < 0), \\ \varphi_{3,\eta} &= \left\{ \frac{3\varphi_2 + \varphi_1}{4} \right\}_{\eta,5}, \quad \varphi_{4,\eta} = \left\{ \frac{3\varphi_2 - \varphi_1}{2} \right\}_{\eta,5}, \quad \varphi_{5,\eta} = \{\varphi_1, \varphi_2\}_{\eta,5} \\ \varphi_{6,\eta} &= \{2\varphi_1 \varphi_4 - 3\varphi_2\}_{\eta,5}, \quad \varphi_{7,\eta} = \{4\varphi_1 \varphi_3 - 3\varphi_2\}_{\eta,5} \\ \Delta \delta_{\eta} &= \delta \delta_{\eta} - F \delta_{\eta}, \quad \Delta \delta_{\xi} = I \delta_{\xi} - F \delta_{\xi}, \quad \lambda_{\eta,5}^2 = |P_{\xi}| / EI_{\eta,5} \end{aligned}$$

$$\begin{aligned} a &= \frac{EF}{l}, \quad b_{\eta,5} = \left(\frac{12EI}{l^3} \varphi_5 \right)_{\eta,5} \\ c_{\eta,5} &= \left(\frac{6EI}{l^2} \varphi_2 \right)_{\eta,5}, \quad d = \frac{12EC_w}{l^3} \varphi_5 \\ e_{\eta,5} &= \left(\frac{4EI}{l} \varphi_3 \right)_{\eta,5} \\ a' &= \frac{l}{EF}, \quad b'_{\eta,5} = \left(\frac{l^3}{3EI} \frac{\varphi_3}{\varphi_1 \varphi_2} \right)_{\eta,5} \\ c'_{\eta,5} &= \left(\frac{2EI}{l^2} \frac{1}{\varphi_1} \right)_{\eta,5}, \quad d' = \frac{l^3}{12EC_w} \frac{1}{\varphi_5} \\ e'_{\eta,5} &= \left(\frac{l}{EI} \frac{\varphi_1}{\varphi_2} \right)_{\eta,5} \end{aligned}$$

であり、 φ_{ξ} は、両端端ごとの反りに対する拘束条件と軸方向力の如何に応じてつぎのように使いわけらる。

- a) 両端拘束の場合 $\varphi_{\xi} = \left\{ \frac{\lambda^2 l^2}{12} \frac{\sin \lambda l}{2(1 - \cos \lambda l) - \lambda l \sin \lambda l} \right\}_{\xi} (q_j > P_{\xi} l^2)$, $= - \left\{ \frac{\lambda^2 l^2}{12} \frac{\sinh \lambda l}{2(1 - \cosh \lambda l) + \lambda l \sinh \lambda l} \right\}_{\xi} (q_j > P_{\xi} l^2)$
- b) 一端拘束他端自由の場合 $\varphi_{\xi} = \left\{ \frac{\lambda^2 l^2}{12} \frac{\cos \lambda l}{\sin \lambda l - \lambda l \cos \lambda l} \right\}_{\xi} (q_j < P_{\xi} l^2)$, $= - \left\{ \frac{\lambda^2 l^2}{12} \frac{\cosh \lambda l}{\sinh \lambda l - \lambda l \cosh \lambda l} \right\}_{\xi} (q_j > P_{\xi} l^2)$
- c) 両端自由の場合 $\varphi_{\xi} = - \left\{ \frac{\lambda^2 l^2}{12} \right\}_{\xi} (q_j < P_{\xi} l^2)$, $= \left\{ \frac{\lambda^2 l^2}{12} \right\}_{\xi} (q_j > P_{\xi} l^2)$, $\lambda_{\xi}^2 = |P_{\xi} l^2 - q_j| / EC_w$

2. 非線形 Modified Incidence Matrix 一般座標系 x y z に于ける節点 J の変位と、節点に作用する外力とを $U_J = \{U_x U_y U_z \theta_x \theta_y \theta_z\}^T$, $P_J = \{P_x P_y P_z M_x M_y M_z\}^T$ とし、骨組の全節点の変位、全部枝の枝端変形量、枝端力、および、節点に作用する荷重系を表わすベクトルを、それぞれ、 U , Δ , S , および、 P で表わせば、これらの間の関係は x y z 系と $\xi \eta \zeta$ 系との関係を表わす通常の座標変換行列 R_i と、式-(2)における $s_{\xi i}$ と $k_{\xi i}$ とを要素にもつ非線形な Modified Incidence Matrix s_{Q_i} , k_{Q_i} を用いて、式-(6)のように表わせる。ここに、 s_{Q_i} , k_{Q_i} は 部枝と節点との連結関係より右のような内容をもっている。

$$s_{Q_{ij}} = \begin{cases} R_i^T & \text{部枝 } i \text{ が節点 } j \text{ に正連結} \\ R_i^T s_{\xi i} & \text{ " " 負連結} \\ 0 & \text{ " " 非連結} \end{cases}$$

$$k_{Q_{ij}} = \begin{cases} R_i & \text{部枝 } i \text{ が節点 } j \text{ に正連結} \\ k_{\xi i}^T R_i & \text{ " " 負連結} \\ 0 & \text{ " " 非連結} \end{cases}$$

3. Tree Method による解法 113, 骨組全体に対する Stiffness Matrix K を表わし、式-(6)の関係を考慮すると、式-(3)は $(s_{Q_i} \cdot K \cdot k_{Q_i}) U = P$ (7) と書くことができ、この

左辺の係数 K と Tree (T), と Link (L) との部分に分割して書けば、 $s_{Q_i} \cdot K \cdot k_{Q_i} = s_{Q_i} \cdot K_T \cdot k_{Q_i} + s_{Q_i} \cdot K_L \cdot k_{Q_i}$

となり、この逆行列の計算は、A.S. Householder の式を用いることにより式-(8)のように、また、行列式の値は式-(9)のようにして計算することができる。

$$(s_{Q_i} \cdot K \cdot k_{Q_i})^{-1} = G - G \cdot s_{Q_i} \cdot K_L \cdot (k_{Q_i} \cdot K_L \cdot G + F_L)^{-1} \cdot k_{Q_i} \cdot K_L \cdot G \quad (8)$$

$$|s_{Q_i} \cdot K \cdot k_{Q_i}| = |G^{-1}| \cdot |k_{Q_i} \cdot G \cdot s_{Q_i} \cdot K_L + F_L| \cdot |K_L| \quad (9)$$

$$\text{ここに、} G = (s_{Q_i} \cdot K_T \cdot k_{Q_i})^{-1} = k_{Q_i}^{-1} \cdot F_T \cdot s_{Q_i}^{-1}$$

4. 座屈荷重の決定法とプログラミング 座屈荷重の決定は、荷重強度を適当に変化させて $|s_{Q_i} \cdot K \cdot k_{Q_i}| = 0$ となる荷重強度を見出す方法によるため、その際、最初の3~4回と任意に変化した後は Lagrange の補向法を用いてこれを推定するようにした。また、一般にこのような非線形解析では多くの繰返し計算を必要とするため、著者は京都大学大型計算機 FACOM 230-60 を対象にして自動解析プログラムを作成したが、計算機の手順演算の流れの概略は、図-2 に示すフローチャートのようなものである。

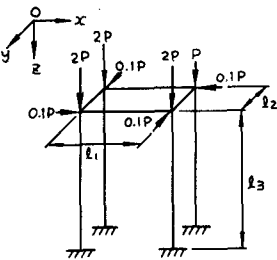


図-3

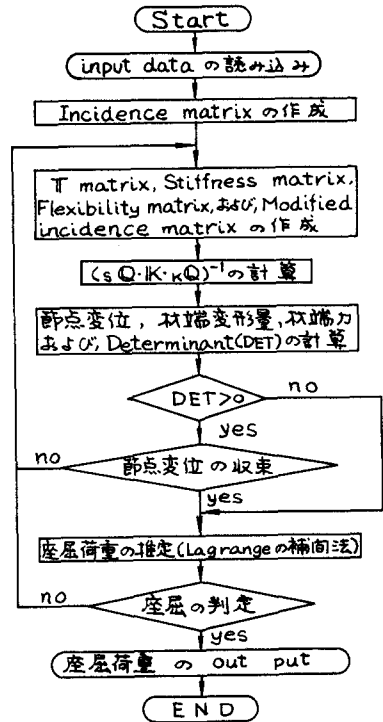


図-2

5. 計算例 図-3 に示すような単純立体ラーメンの柱を Tree に、はり & Link に選らんと、各部分の枝端に於ける反りに対する拘束条件を変化した場合について数値計算を行なつた。断面の都合上結果については省略し、講義会当日に報告する。